

На рис. 5, 6 показаны зависимости относительной скорости  $V_2/V_T$  от параметров  $n$  и  $m$  ( $V_T = \sqrt{\lambda/c_p \alpha_0} = c_1/\sqrt{n}$  - скорость распространения тепловой волны).

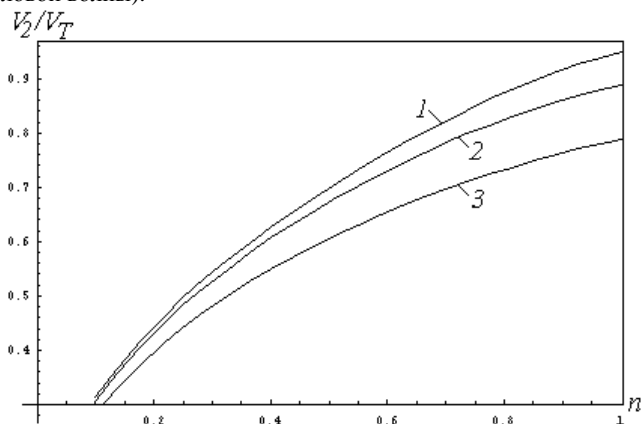


Рисунок 5 – Зависимость безразмерной скорости распространения поверхности разрыва  $V_2/V_T$  от параметра  $n$  при разных значениях параметра  $m$ : 1 -  $m=1$ ; 2 -  $m=5$ ; 3 -  $m=20$ .

Из рис. 5 и 6 следует, что скорость распространения термоупругой волны  $V_2$  не превышает скорости распространения тепловых возмущений (считаем, что время релаксации теплового потока  $\alpha_0$  эквивалентно времени  $\tau$ ). С увеличением  $\alpha_0$  скорость  $V_2$  также возрастает, причем кривые  $V_2/V_T$  незначительно отличаются друг от друга при разных значениях параметра  $m$  (рис. 5). При возрастании второго времени релаксации  $\alpha$  скорость  $V_2$  уменьшается, но для больших значений времени  $\alpha_0$  величина скорости  $V_2$  мало изменяется по сравнению со скоростью распространения тепловых возмущений  $V_T$  (рис. 6).

УДК 539.3

Мартыненко М.Д., Босяков С.М.

## ПОСТРОЕНИЕ ТРЕХМЕРНЫХ ВОЛНОВЫХ ПОВЕРХНОСТЕЙ И ИХ СЕЧЕНИЙ В ДИНАМИЧЕСКОЙ ТЕОРИИ УПРУГОСТИ КУБИЧЕСКИ АНИЗОТРОПНЫХ СРЕД

### ВВЕДЕНИЕ

Теория плоских упругих волн в анизотропных средах относится к достаточно хорошо изученным разделам механики деформируемых сред и акустики. Результаты исследований нашли свое отражение в известных работах [1–4], где при описании распространения упругих волн в анизотропных средах применялись различные поверхности, характеризующие волновой процесс (поверхности скоростей и обратных скоростей, волновые и лучевые поверхности). Однако в большинстве случаев анизотропии эти трехмерные поверхности построить не удастся, поскольку соответствующие дисперсионные уравнения аналитически могут быть решены только для особых направлений или плоскостей (исключение

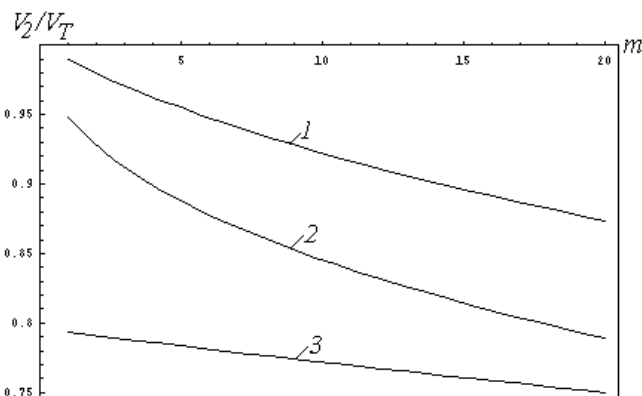


Рисунок 6 – Зависимость безразмерной скорости распространения поверхности разрыва  $V_2/V_T$  от параметра  $m$  при разных значениях параметра  $n$ : 1 -  $n=1$ ; 2 -  $n=1.5$ ; 3 -  $n=2$ .

В заключение отметим, что метод характеристик, развитый выше применительно к одномерным динамическим моделям теплопроводности, достаточно легко может быть перенесен на трехмерные случаи.

### СПИСОК ИСПОЛЬЗОВАННЫХ ИСТОЧНИКОВ

1. Энгельбрехт Ю.К. // Изв. АН ЭССР. Сер. физ.-мат. наук. 1973. Т. 22, № 2. С. 188—195.
2. Иванов Ц., Энгельбрехт Ю.К. // ИФЖ. 1978. Т. 35, № 2. С. 344—351.
3. Шашков А.Г., Бубнов В.А., Яновский С.Ю. Волновые явления теплопроводности: системно-структурный подход. Мн. 1993.
4. Смирнов В.И. Курс высшей математики. Т. IV, ч. 2. М. 1980.
5. Haddow J. B., Wegner J. L. Plane harmonic waves for three thermoelastic theories // Math. And Mech. Solids. – 1996. – Vol. 1, № 1. – P. 111—127.

составляют гексагонально-анизотропные среды) [4]. Данная работа в определенной степени компенсирует этот пробел в отношении кубически анизотропных сред.

### ТРЕХМЕРНЫЕ ВОЛНОВЫЕ ПОВЕРХНОСТИ

Рассмотрим разрешающую систему уравнений движения кубически анизотропной упругой среды в отсутствие объемных сил:

$$(A_4 \Delta + \epsilon \partial_i^2) u_i + (A_2 + A_4) \partial_i \sum_{k=1}^3 \partial_k u_k = \rho \ddot{u}_i, \quad (1)$$

где  $\vec{u} = (u_1, u_2, u_3)$  - вектор перемещений,

Мартыненко Михаил Дмитриевич. Д.ф.-м.н., профессор каф. теоретической и прикладной механики Белорусского государственного университета.

Беларусь, БГУ, 220050, г. Минск, пр. Ф. Скорины, 4.

Машиностроение, автоматизация, ЭВМ

$\epsilon = A_1 - A_2 - 2A_4$ ,  $A_1, A_2, A_4$  - постоянные упругости в основной кристаллографической системе координат,  $\rho$  - плотность среды,  $\Delta = \partial_1^2 + \partial_2^2 + \partial_3^2$ ,  $\partial_i = \frac{\partial}{\partial x_i}$ ,  $i = \overline{1,3}$ , точка обозначает дифференцирование по времени.

Уравнение характеристик для системы (1) имеет следующий вид [5]:

$$\begin{aligned} & (A_4 g^2 - \rho p_0^2)^3 + (A_1 + A_4) g^2 (A_4 g^2 - \rho p_0^2)^2 + \\ & + (A_1 + A_2) \epsilon (A_4 g^2 - \rho p_0^2) \sum_{k \neq l=1}^3 p_k^2 p_l^2 + \\ & + \epsilon^2 (A_1 + A_4 + 2A_2) p_1^2 p_2^2 p_3^2 = 0. \end{aligned} \quad (2)$$

Здесь  $p_0 = \frac{\partial Z}{\partial t}$ ,  $p_k = \frac{\partial Z}{\partial x_k}$ ,  $g^2 = \sum_{k=1}^3 p_k^2$ .

Уравнение для скорости распространения поверхности разрыва по направлению нормали к характеристической поверхности  $V = p_0/g$  получим из (2):

$$\begin{aligned} & (A_4 - \rho V^2)^3 + (A_1 - A_4)(1 - \rho V^2)^2 + \\ & + \epsilon(A_1 + A_2)(1 - \rho V^2)m + \epsilon^2(A_1 + 2A_2 + A_4)n = 0, \end{aligned} \quad (3)$$

где  $m = \sum_{i \neq j=1}^3 \cos^2 \alpha_i \cos^2 \alpha_j$ ,  $n = \cos^2 \alpha_1 \cos^2 \alpha_2 \cos^2 \alpha_3$ ,

$\cos \alpha_i = p_i/g$  - направляющие косинусы нормали к поверхности характеристик,  $i = \overline{1,3}$ .

Запишем (3) в следующем виде

$$y^3 + py + q = 0, \quad (4)$$

где  $y = (3 + \bar{\epsilon} + \bar{\sigma})/3 - \bar{\rho}V^2$ ,  $p = \bar{\epsilon}(\bar{\epsilon} + 2\bar{\sigma})m - (\bar{\sigma} + \bar{\epsilon})^2/3$ ,  $\bar{\rho} = \rho/A_4$ ,  $q = 2(\bar{\epsilon} + \bar{\sigma})^3/27 - \bar{\epsilon}(\bar{\epsilon} + \bar{\sigma})(\bar{\epsilon} + 2\bar{\sigma})m/3 + \bar{\epsilon}^3(\bar{\epsilon} + 3\bar{\sigma})n$ ,  $\bar{\epsilon} = (A_1 - A_2)/A_4 - 2$ ,  $\bar{\sigma} = A_2/A_4 + 1$ .

Приведенное кубическое уравнение (4) имеет три действительных корня при неположительном дискриминанте  $D = (q/2)^2 + (p/3)^3$ . В этом случае скорости распространения упругих волн могут быть представлены в следующем виде:

$$V_k = \sqrt{\left(3 + \bar{\epsilon} + \bar{\sigma} - 6\sqrt{-p/3 \cos(A_k/3)}\right)/3\bar{\rho}}, \quad (5)$$

$$A_k = \arccos\left(-q\sqrt{-(3/p)^3}/2\right) + 2\pi k, \quad k = \overline{1,3}.$$

Заметим, что для абсолютного большинства кубически анизотропных сред выполняется  $D \leq 0$ . Этот факт проверен нами численно на примере известных кубически анизотропных сред [6, 7] (исключение составляют материалы с отрицательным коэффициентом поперечной деформации, например, кристаллы пирита и некоторые сорта фанеры [8, 9]). Для направляющих косинусов нормали к характеристической поверхности, соответствующих осям симметрии четвертого и третьего порядка, два корня, определяющие скорости распро-

странения поперечных волн, совпадают, в остальных случаях все три корня различны.

Формулы (5) позволяют не только рассчитать значения скоростей распространения упругих волн, но и построить поверхности обратных скоростей квазипоперечных ( $R_1 = V_1^{-1}$ ) и квазипоперечных ( $R_{2,3} = V_{2,3}^{-1}$ ) волн. Среди них наибольший интерес представляют поверхности  $R_{2,3}$ , поскольку имеют особенности, которые свидетельствует о возникновении лагун на волновых поверхностях упругих волн. На рис. 1 представлены поверхности обратных скоростей для кубически анизотропного свинца с константами  $A_1 = 46.6$  ГПа,  $A_2 = 39.2$  ГПа,  $A_4 = 14.4$  ГПа,  $\rho = 11342$  кг/м<sup>3</sup>.

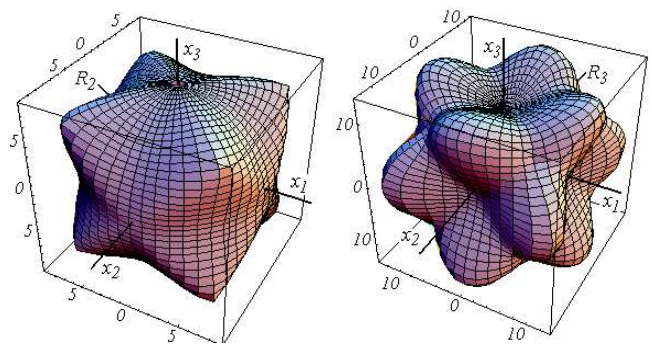


Рисунок 1 - Поверхности обратных скоростей  $R_{2,3}$ ,  $\times 10^{-3}$  (м/с)<sup>-1</sup>.

Из рис. 1 следует, что обе поверхности обратных скоростей  $R_{2,3}$  имеют как выпуклые, так и вогнутые участки, т.е. те особенности, которые согласно [3] указывают на возникновение лагун. Чтобы получить полное представление о количестве лагун и их формах, построим волновые поверхности квазипоперечных волн. Для этого из уравнения (2) выразим  $p_0$ :

$$p_0^{(k)} = \sqrt{\left(\left(3 + \bar{\epsilon} + \bar{\sigma}\right)g^2 - 6\sqrt{-p^*/3 \cos(A_k^*/3)}\right)/3\bar{\rho}}. \quad (6)$$

где  $p^* = \bar{\epsilon}(\bar{\epsilon} + 2\bar{\sigma})m^* - (\bar{\sigma} + \bar{\epsilon})^2 g^4/3$ ,  $m^* = \sum_{i \neq j=1}^3 p_i^2 p_j^2$ ,

$$n^* = p_1^2 p_2^2 p_3^2,$$

$$q^* = 2(\bar{\epsilon} + \bar{\sigma})^3 g^6/27 - \bar{\epsilon}(\bar{\epsilon} + \bar{\sigma})(\bar{\epsilon} + 2\bar{\sigma})g^2 m^*/3 +$$

$$+ \bar{\epsilon}^3(\bar{\epsilon} + 3\bar{\sigma})n^*, \quad A_k^* = \arccos\left(-q^*\sqrt{-(3/p^*)^3}/2\right) + 2\pi k,$$

$$k = \overline{1,3}.$$

Дифференцируя (6) по  $p_1, p_2$  и  $p_3$ , после несложных преобразований получим:

$$\frac{\partial p^{(k)}}{\partial p_j} = \frac{1}{6\rho p_0^{(k)}}(2p_j(3 + \bar{\varepsilon} + \bar{\sigma}) + \sqrt{3} \left( \frac{1}{\sqrt{-p}} \frac{\partial p^*}{\partial p_j} \cos \Lambda_k + \frac{1}{3} \frac{\sqrt{4p^3} \sin \Lambda_k}{\sqrt{4p^3 + 27q^2}} \times \sqrt{-\left(\frac{3}{p}\right)^3 \left( \frac{\partial q^*}{\partial p_j} + \frac{9\sqrt{3}q}{2p} \frac{\partial p^*}{\partial p_j} \right)} \right), j = \overline{1,3},$$

где  $\frac{\partial p^*}{\partial p_j} = 2\bar{\varepsilon}(\bar{\varepsilon} + \bar{\sigma})p_j(g^2 - p_j^2) - 4(\bar{\varepsilon} + \bar{\sigma})^2 p_j g^2 / 3,$

$$\frac{\partial q^*}{\partial p_j} = 4(\bar{\varepsilon} + \bar{\sigma})^3 / 9 - 2\bar{\varepsilon}(\bar{\varepsilon} + \bar{\sigma})(\bar{\varepsilon} + 2\bar{\sigma})(p_j m^* + g^2 p_j(g^2 - p_j^2)) / 3 + 2n^* \bar{\varepsilon}^2 (\bar{\varepsilon} + 3\bar{\sigma}) / p_j.$$

Разделим числитель и знаменатель (2.42) на  $g$ :

$$\frac{\partial p_0^{(k)}}{\partial p_j} = \frac{1}{6\rho V_k} (2 \cos \alpha_j (3 + \bar{\varepsilon} + \bar{\sigma}) + \sqrt{3} \left( \frac{1}{\sqrt{-p}} p_j^* \cos \Lambda_k + \frac{1}{3} \frac{\sqrt{4p^3} \sin \Lambda_k}{\sqrt{4p^3 + 27q^2}} \times \sqrt{-\left(\frac{3}{p}\right)^3 \left( q_j^* + \frac{9\sqrt{3}q}{2p} p_j^* \right)} \right)), \quad (7)$$

$$p_j^* = 2\bar{\varepsilon}(\bar{\varepsilon} + \bar{\sigma}) \cos \alpha_j (1 - \cos^2 \alpha_j) - 4(\bar{\varepsilon} + \bar{\sigma})^2 \cos \alpha_j / 3,$$

$$q_j^* = 4(\bar{\varepsilon} + \bar{\sigma})^3 / 9 - 2\bar{\varepsilon}(\bar{\varepsilon} + \bar{\sigma})(\bar{\varepsilon} + 2\bar{\sigma})(\cos \alpha_j m + \cos \alpha_j (1 - \cos^2 \alpha_j)) / 3 + 2\bar{\varepsilon}^2 (\bar{\varepsilon} + 3\bar{\sigma}) \cos \alpha_j (m - \cos^2 \alpha_j (1 - \cos^2 \alpha_j)).$$

Выражения для бихарактеристик  $(x_1^{(k)}, x_2^{(k)}, x_3^{(k)})$ ,  $k = \overline{1,3}$ , запишем в следующем виде:

$$\frac{dx_j^{(k)}}{dt} = \frac{\partial p_0^{(k)}}{\partial p_j}, k, j = \overline{1,3}. \quad (8)$$

Правая часть (8) определяется выражениями (7) и не зависит от времени  $t$ , поэтому

$$x_j^{(k)} = \frac{\partial p_0^{(k)}}{\partial p_j} t, k, j = \overline{1,3}. \quad (9)$$

Формулы (9) определяют координаты  $x_j^{(k)}$ ,  $k, j = \overline{1,3}$  точек упругой среды, до которых к данному моменту времени  $t$  дошла энергия волнового возмущения. На рис. 2 показаны волновые поверхности  $L_{2,3}$  квазипоперечных волн в момент времени  $t = 1$ , распространяющихся в свинце.

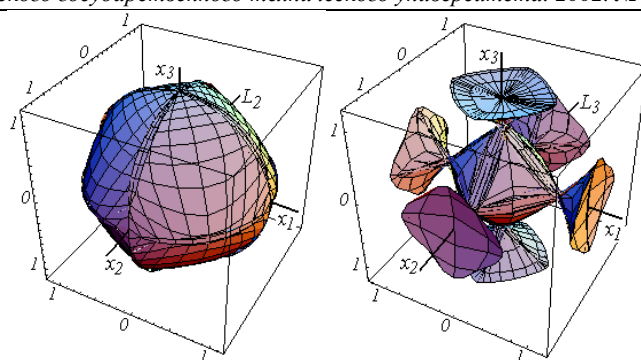


Рисунок 2 - Волновые поверхности  $L_{2,3}$  квазипоперечных волн, км/с.

Рис. 2 показывает, что при распространении квазипоперечной волны  $L_2$  возникают двенадцать лакун в виде узких полос, сходящихся у координатных осей, причем вблизи оси  $x_1$  (или  $x_2$ ) лакуны выглядят иначе, чем у оси  $x_3$ . Шесть лакун возникают при распространении квазипоперечной волны  $L_3$ , причем сами лакуны имеют вид конусов, осями которых являются оси координат. С точки зрения практических приложений важным представляется расчет количественных характеристик лакун, например, таких как телесный угол  $Y$  (содержащий лакуну, возникающую на поверхности  $L_3$ ), вершина которого совпадает с началом системы координат. Результаты такого расчета для некоторых кубически анизотропных сред представлены в таблице.

Таблица - Значения телесных углов лакун.

Материал	серебро	золото	германий	медь	никель	свинец
Угол $Y$	0.583	0.498	0.085	0.660	0.448	0.781

Отметим, что построение поверхностей  $L_{2,3}$  проведено в параметрической системе координат  $x_1^{(k)} = x_1^{(k)}(u, v)$ ,  $x_2^{(k)} = x_2^{(k)}(u, v)$ ,  $x_3^{(k)} = x_3^{(k)}(u, v)$ ,  $k = \overline{1,3}$  на основании формул (9), где  $\cos \alpha_1 = \cos u \cos v$ ,  $\cos \alpha_2 = \sin u \cos v$  и  $\cos \alpha_3 = \sin v$ , построение поверхностей обратных скоростей  $R_{2,3}$  выполнено в сферической системе координат  $(r, \theta, \phi)$ , где принято  $r = 1$ ,  $\cos \alpha_1 = \sin \theta \cos \phi$ ,  $\cos \alpha_2 = \sin \theta \sin \phi$ ,  $\cos \alpha_3 = \cos \theta$ . Некоторые погрешности в построении волновых поверхностей вызваны тем, что бихарактеристики (7) определены не для всех значений углов наклона нормали к характеристической поверхности. Так, для направлений осей симметрии четвертого ( $\cos^2 \alpha_1 = 1$ ,  $\cos^2 \alpha_2 = \cos^2 \alpha_3 = 0$ ) и третьего порядка ( $\cos^2 \alpha_k = 1/\sqrt{3}$ ,  $k = \overline{1,3}$ ) выражения (7) не имеют смысла, так как происходит деление на ноль.

### СЕЧЕНИЯ ВОЛНОВЫХ ПОВЕРХНОСТЕЙ

С помощью (5) достаточно легко построить кривые обратных скоростей  $R_{2,3}$  в любой плоскости системы координат  $(x_1, x_2, x_3)$ , начало которой принадлежит этой плоскости, задавая соответствующим образом направляющие коси-

нусы  $\cos \alpha_k, k = 1, 3$ . Так, принимая в (5)  $\cos \alpha_1 = 0$ ,  $\cos \alpha_2 = \sin \alpha$ ,  $\cos \alpha_3 = \cos \alpha$ , получим формулы для скоростей распространения упругих волн в плоскости  $x_1 = 0$ . Кривые обратных скоростей для квазипоперечных волн в плоскости  $x_1 = 0$  свинца показаны на рис. 3. Заметим, что аналогичный вид имеют кривые обратных скоростей в координатных плоскостях  $x_{2,3} = 0$ .

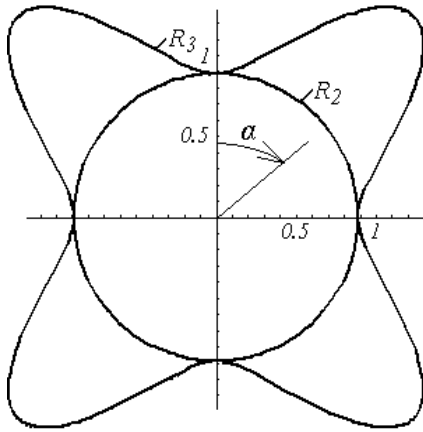


Рисунок 3 - Кривые обратных скоростей  $R_{2,3}$  в плоскости  $x_1 = 0, \times 10^{-3} (м/с)^{-1}$ .

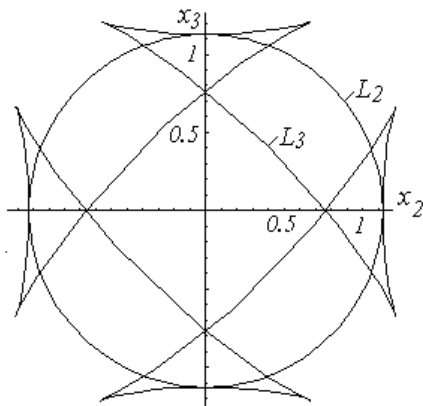


Рисунок 4 - Волновые фронты  $L_{2,3}$  в плоскости  $x_1 = 0, \times 10^3 (м)$ .

Кривая  $R_3$  имеет особенности, описанные [3, 9], и указывающие на возникновение лакун на волновом фронте  $L_3$  квазипоперечной волны. Так, в [3] (а также в [1]) описаны особенности кривой  $R_3$ , которые заключаются в существовании касательных, имеющих с  $R_3$  две точки касания. В [9] проведен анализ особенностей кривых  $R_3$  по точкам перегиба с позиций общей теории кривых четвертого порядка. Возникновение лакун происходит на волновом фронте в интервале углов касания [3] (то есть в тех координатных квадрантах, где находятся участки вогнутости [9]). Сечение волновой поверхности  $L_3$  плоскостью  $x_1 = 0$  в момент времени  $t = 1$  показано на рис. 4. Кривая  $R_2$  является окружностью и не обладает выше указанными особенностями (рис. 3), тем не менее, на волновом фронте  $L_2$  в плоскости  $x_1 = 0$  кубически анизотропного тела существуют лакуны (рис. 2). На

волновом фронте  $L_2$ , который в плоскости  $x_1 = 0$  кубически анизотропного тела является окружностью, точки ветвления волнового фронта отсутствуют (рис. 4), поскольку сечение проходит вдоль лакун. Для того, чтобы показать существование лакун на поверхности  $L_2$ , следует рассмотреть другие ее сечения. Однако исследования кривых обратных скоростей в плоскостях, не являющихся координатными плоскостями основной кристаллографической системы, крайне редки и носят единичный характер ввиду их сложности и громоздкости. Подобный анализ кривых обратных скоростей в плоскости  $x'_1 = 0$  ( $x'_2 = 0$ ) системы координат  $(x'_1, x'_2, x_3)$  кубически анизотропного тела, повернутой около оси  $x_3$  на  $45^\circ$  (поворот против часовой стрелки, если смотреть со стороны положительного направления оси  $x_3$ ) проведен в [4]. Однако, полученные в [4, стр. 164] кривые обратных скоростей не являются сечением трехмерных поверхностей обратных скоростей  $R_{2,3}$  плоскостью  $x'_2 = 0$ , и не могут быть получены из  $R_{2,3}$  никаким другим сечением. С помощью формул (5) можно получить кривые обратных скоростей сечением поверхности  $R_{2,3}$  любой плоскостью, проходящей через начало координат основной кристаллографической системы  $(x_1, x_2, x_3)$ . Так, на рис. 5 представлены кривые обратных скоростей  $R_{2,3}$  плоскостью  $x'_1 = 0$ , когда  $\cos \alpha_1 = \cos \alpha_2 = \cos \alpha / \sqrt{2}$ ,  $\cos \alpha_3 = \sin \alpha$ .

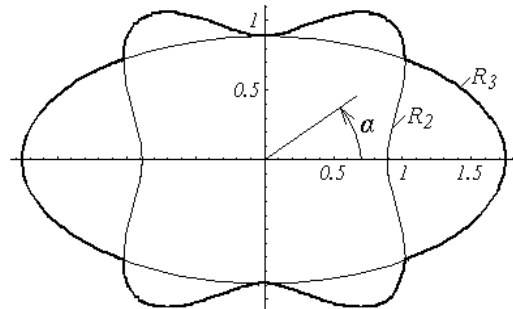


Рисунок 5 - Кривые обратных скоростей  $R_{2,3}$  в плоскости  $x'_1 = 0, \times 10^{-3} (м/с)^{-1}$  (кривая  $R_2$  проведена тонкой линией).

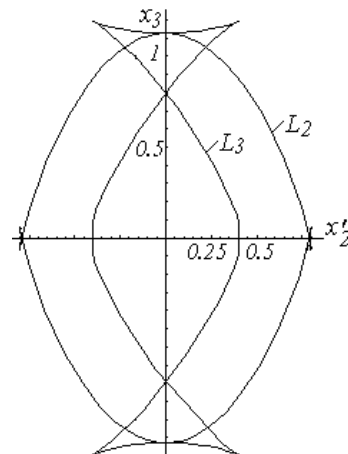


Рисунок 6 - Волновые фронты  $L_{2,3}$  квазипоперечных волн в плоскости  $x'_1 = 0, \times 10^3 (м)$ .

Из рис. 5 следует, что как кривая  $R_2$ , так и кривая  $R_3$  имеют особенности, которые указывают на возникновение лакун при распространении квазипоперечных волн, причем кривая  $R_3$  для кубически анизотропных сред в литературе не описана. Количество точек перегиба (четыре точки перегиба) на  $R_3$  не совпадает с количеством двойных точек касания касательных к  $R_3$  (шесть пар точек касания). Поэтому, учитывая поверхности  $L_2$  и  $L_3$  (см. рис. 2), можно сказать, что один из подходов к анализу особенностей кривых обратных скоростей не всегда однозначно позволяет указать на существование лакун на волновом фронте.

Для построения волновых фронтов в плоскости  $x'_1 = 0$  применим формулы (9), подставив выше приведенные выражения для направляющих косинусов нормали к поверхности. Результат построения  $L_{2,3}$  в момент времени  $t = 1$  представлен на рис. 6. Как следует из рис. 6, волновые фронты  $L_2$  и  $L_3$  имеют по две лакуны, расположенные около осей  $x'_2$  и  $x_3$  соответственно, причем плоский угол, содержащий лакуну на  $L_2$ , мал по сравнению с углом лакуны на  $L_3$ . Также отметим, что углы лакун на волновом фронте  $L_3$  в плоскостях  $x_1 = 0$  и  $x'_1 = 0$  не равны друг другу, то есть основание лакун, возникающей на поверхности  $L_3$  при распространении квазипоперечной волны не является окружностью (телесный угол  $Y$  касается лакуны в точках, лежащих в координатных плоскостях  $x_i = 0, i = \overline{1,3}$ ).

УДК 621.32:658.562

Овсянников Г.Н., Смаль А.С.

## УТОЧНЁННАЯ ОЦЕНКА КАЧЕСТВА ЛАМП НАКАЛИВАНИЯ

Исходя из основных потребительских свойств источников света, в частности ламп накаливания (л.н.), оценка их качества согласно [1] можно представить в виде:

$$K = \frac{\Phi_v \cdot T}{P \cdot C} \quad (1)$$

где  $\Phi_v$  – световой поток;  $T$  – срок службы (час);  $P$  – мощность (Вт);  $C$  – стоимость изделия в условных единицах.

Анализ приведенного выражения показывает, что необходимы некоторые уточнения:

1. Обобщённый количественный критерий качества должен выражать конкретный физический смысл и учитывать потребительские свойства источника света. Из выражения (1) следует, что параметр мощности  $P$  косвенно учитывается в световом потоке  $\Phi_v$ . Без показателя мощности

### ЗАКЛЮЧЕНИЕ

Построения кривых обратных скоростей и сечений волновых фронтов квазипоперечных волн в анизотропных средах недостаточно для проведения полного анализа закономерностей и особенностей распространения упругих волн, тем более, что набор таких кривых ограничен количеством координатных плоскостей. Описанные в литературе особенности кривых обратных скоростей не всегда однозначно указывают на наличие лакун, и несут крайне мало информации о волновом фронте упругой волны. Выполненные выше построения поверхностей обратных скоростей и трехмерных волновых фронтов позволяют сформировать наглядные физико-механические представления о поведении волн в кубически анизотропных средах и получить те сечения волновых поверхностей, которые представляют исследовательский интерес. Также отметим, что визуализация волновых движений в кубически анизотропных упругих средах позволяет уточнить и дополнить классификацию кубически анизотропных сред [9, 10].

### СПИСОК ИСПОЛЬЗОВАННЫХ ИСТОЧНИКОВ

1. Федоров Ф.И. Теория упругих волн в кристаллах. М. 1965.
2. Musgrave M.J.P. Crystal Acoustics. San-Francisco. 1970.
3. Петрашень Г. И. Распространение волн в анизотропных упругих средах. Л. 1980.
4. Дьелесан Э., Руайе Д. Упругие волны в твердых телах. Применение для обработки сигналов. М. 1982.
5. Скляр О. Н., Босьяков С. М. // Материалы, технологии, инструменты. 2000. Т. 5. № 4. С. 26–28.
6. Современная кристаллография Т. IV. Физические свойства кристаллов. М. 1984.
7. Хантингтон Г. // УФН. 1961. Т. 74. № 3. С. 461–520.
8. Лехницкий С.Г. Теория упругости анизотропного тела. М. 1977.
9. Будаев В. С. // Известия АН СССР. МТТ 1978. № 3. С. 33–40.
10. Musgrave M. J., Payton R. G. // J. Elast. 1984. Vol.14. № 3. P. 269–285.

оценка качества физически представляет количество световой энергии, полученной за время горения л.н., приходящееся на единицу затрат.

$$K = \frac{\Phi_\lambda \cdot T}{C} \quad (2)$$

2. Лучистый поток  $\Phi_\lambda$  как основной технологический и потребительский показатель, является функцией длины волны  $\lambda$  спектра излучения и воспринимается глазами только частично в диапазоне  $\lambda=(0,38-0,76)$  мкм. Функциональная зависимость воспринимаемого глазом светового потока,  $\Phi_v$

$$\Phi_v = \Phi_\lambda \int_{\lambda_1}^{\lambda_2} V_\lambda d\lambda = \Phi_\lambda K_\lambda, \text{ где } \lambda_1=380 \text{ мкм, } \lambda_2=760 \text{ мкм,}$$

принята Международной комиссией по освещению (МКО) в

Овсянников Герман Николаевич. Доцент каф. автоматизации технологических процессов и производства Брестского государственного технического университета.

Смаль Александр Сергеевич. Ст. преподаватель каф. автоматизации технологических процессов и производства Брестского государственного технического университета.

Беларусь, БГТУ, 224017, г. Брест, ул. Московская, 267.